

國立臺灣大學理學院地質科學系暨研究所

碩士論文

Institute of Geosciences

College of Engineering

National Taiwan University

Master Thesis

國立臺灣大學碩博士畢業論文模版

National Taiwan University (NTU)

Thesis/Dissertation Template in L<sup>A</sup>T<sub>E</sub>X

陳季晴

Ji Ching Chen

指導教授: 譚諤 博士

Advisor: Eh Tan Ph.D.

中華民國 111 年 5 月

May, 2022

國立臺灣大學碩士學位論文  
口試委員會審定書



國立臺灣大學碩博士畢業論文模版  
National Taiwan University (NTU)  
Thesis/Dissertation Template in L<sup>A</sup>T<sub>E</sub>X

本論文係陳季晴君（R09224122）在國立臺灣大學地質科學系暨研究所完成之碩士學位論文，於民國 111 年 5 月 1 日承下列考試委員審查通過及口試及格，特此證明

口試委員：\_\_\_\_\_

（指導教授）

_____	_____
_____	_____
_____	_____
_____	_____

所 長：\_\_\_\_\_





# Acknowledgements

還沒有



[illegible]

**關鍵字：** LaTeX、中文、論文、模板





# Abstract

Abstract

**Keywords:** LaTeX, CJK, Thesis, Template







# Contents

	Page
Verification Letter from the Oral Examination Committee	i
Acknowledgements	iii
摘要	v
Abstract	vii
Contents	ix
List of Figures	xi
List of Tables	xiii
Denotation	xv
Chapter 1 第一章	1
1.1 前言 . . . . .	1
1.2 平坦隱沒數值模型文獻回顧 . . . . .	3
1.3 研究動機與目標 . . . . .	5
1.4 墨西哥觀測資料 . . . . .	5
1.5 小結 . . . . .	6
Chapter 2 研究方法	7
2.1 運動方程式 . . . . .	7

<b>Chapter 3</b>	<b>中文測試</b>	<b>11</b>
3.1	史記 . . . . .	11
3.2	山海經 . . . . .	12
<b>Chapter 4</b>	<b>英文測試</b>	<b>13</b>
4.1	出師表 . . . . .	13
4.2	短歌行 . . . . .	13
<b>References</b>		<b>15</b>
<b>Appendix A — Introduction</b>		<b>15</b>
A.1	Introduction . . . . .	15
A.2	Further Introduction . . . . .	15
<b>Appendix B — Introduction</b>		<b>17</b>
B.1	Introduction . . . . .	17
B.2	Further Introduction . . . . .	17





## List of Figures





## List of Tables





# Denotation

$E$	能量
$m$	質量
$c$	光速
$P$	概率
$T$	時間
$v$	速度
勸學	君子曰








# Chapter 1 第一章

## 1.1 前言

在 1960 年代之前，地槽學說在大地構造學說中佔主要地位，該學說認為地殼運動方式以垂直運動為主，各個地殼區域內發生沈積與風化、岩漿活動、變質作用等運動。1967 年板塊構造學說提出，建立在大陸漂移與海底擴張等水平移動證據，打破以往地槽學說所認為的垂直運動概念。板塊構造學說首先定義地球最外熱邊界層以上剛性殼體—岩石圈。岩石圈包含地殼以及上部地幔，其因地球內部的熱引起重力不穩定而在軟流圈上水平運動 (Jordan, 1978)。地球的岩石圈斷裂成許多剛性塊體，該塊體被稱為板塊。大部分由板塊水平運動所引起的變形作用發生在板塊邊界。在聚合板塊邊界，板塊發生破壞，包含碰撞與隱沒；在分離板塊邊界，板塊發生增生，代表構造為海底擴張；錯動邊界中板塊不會顯著發生增生與破壞，代表構造為轉型斷層 (Fowler, 2005)。全球主要的板塊邊界見圖 1-1。

聚合板塊邊界中，老的岩石圈因溫度較低使其密度相較於高溫地幔岩石圈更高，足夠造成重力不穩定。因此，老岩石圈在聚合板塊邊界發育海溝的，由海溝沉入地球內部，成為隱沒板塊。隨著隱沒板塊帶著較冷物質進入地幔深處，周圍壓力逐漸上升，岩石發生相變，隱沒板塊因成分與溫度與地幔物質不同，溫度上的差異造成更大的重力不穩定。在同等深度下，隱沒板塊的密度始終比周圍地幔高，為了隱沒系統的平衡，隱沒板塊持續下沉進入地球內部更深處，整段不穩定




區域稱為隱沒帶不穩定。同時，隱沒板塊上的聚合板塊稱為上覆板塊。隱沒板塊為板塊移動與張裂的主要驅動力 (Turcotte and Schubert, 2002)，在隱沒過程中，岩石圈物質與軟流圈物質發生交互作用，隱沒板塊將海水與沈積物進入地幔中，降低地幔熔點，在上覆板塊側發生岩漿作用。自然界中上部地幔以上之隱沒幾何剖面有相當大的相異性，有許多原因影響隱沒傾角與隱沒曲率 (Schellart, 2020)。平坦隱沒是隱沒帶幾何中一種特殊的現象。在平坦隱沒的區域，有一部分的隱沒板塊在上覆板塊下方呈現接近水平走向的狀態一段距離後，又以正常隱沒傾角進入地幔深處。

大部分活躍的隱沒帶中，若僅考慮地表至 200 公里深的幾何構造，隱沒板塊的轉樞點接近海溝且下凹，並且只有一個轉樞點，如圖 1-2 (A)(B)。在部分區域，板塊會有兩個下凹轉樞點，第一個轉樞點接近海溝且呈現平緩不明顯的下凹，第二個轉樞點在距海溝幾百公里遠處，曲率明顯、板塊下凹進入深部地幔，如圖 1-2(C) 所示，阿拉斯加、卡斯卡迪亞 (Cascadia)、日本四國與新幾內亞等地區皆屬於此類。另外在少數區域，隱沒板塊會有三個轉樞點，第一個轉樞點靠近海溝且下凹，第二個轉樞點深度較深呈現上凹，被視為是平坦隱沒的開始端，在這兩個轉樞點中隱沒板塊傾角正常。第三個轉樞點與第二個轉樞點深度相近，水平距離通常超過 100 公里以上，其曲率下凹的特徵代表著平坦隱沒的結束，平坦隱沒的距離與深度由第二與第三轉樞點所決定，如圖 1-2(D) 所示，智利、秘魯與墨西哥等地區屬於此類，在過去曾經被 Manea et al., 2017 所討論。在本研究中，平坦隱沒被定義為具有三個轉樞點的隱沒板塊。



## 1.2 平坦隱沒數值模型文獻回顧

目前造成平坦隱沒發生的機制眾說紛紜。南美洲區域平坦隱沒的發生區域與隱沒的中洋脊有幾何上的相關性，海洋地殼上中洋脊與海洋高原的存在可能會導致總體密度較低、浮力較大，因此過去曾經隱沒的中洋脊被認為是造成平坦隱沒的主要原因。Huneeuw et al., 2002 最早將模型加入增厚的海洋地殼，以模擬過去智利與秘魯曾經有中洋脊與海洋高原進入隱沒帶中的紀錄。增厚海洋地殼有較低的密度與較大的浮力，其上方岩相需要比原先更大的壓力與更高的溫度才會從玄武岩相變成密度高的榴輝岩，可能使隱沒板塊與周遭地幔沒有顯著密度差而發生平坦隱沒。不過由於該研究模型僅二維，單純加入增厚海洋地殼所呈現的模型雖然能呈現平坦隱沒，但結果是假設第三維上有無限延伸的增厚海洋地殼，現實中增厚的海洋地殼能造成的浮力效應應遠小於二維模型中的結果。Florez-Rodríguez et al., 2019 在三維模型中證明了這一點，他們提出若將現在自然界中最大的洋脊隱沒進入地幔，其所提供的浮力也只會造成海洋板塊傾角減少原先的 10 度。若從自然界中來看，確實有許多區域皆有海脊隱沒的證據，例如勘察加半島 (Kamchatka) 有皇帝海脊 (Emperor Ridge) 隱沒、琉球 (Ryukyu) 有大東海脊 (Daito Ridge) 隱沒以及馬里亞納 (Mariana) 與馬庫斯—內克海脊 (Marcus-Necker Ridge) 隱沒，然而只有秘魯與智利有平坦隱沒的特徵。此外，在墨西哥有平坦隱沒的特徵，然而墨西哥沒有任何海脊或海洋高原的隱沒紀錄，因此增厚的海洋地殼發生平坦隱沒的理論近年來逐漸站不住腳 (Schellart, 2020)。Huneeuw et al., 2000 使用二維笛卡爾座標數值模型進行秘魯與智利平坦隱沒的模擬。在他們的模型中，唯一能成功演化出平坦隱沒的機制只有海溝後撤迫使大陸岩石圈逆衝到隱沒板塊之上。Liu and Currie, 2016 使用二維模型模擬過去東非拉隆板塊板塊的平坦隱沒機制，他們加入增厚的海洋地殼後並無法觸發平坦隱沒的產生，然而，再加入額外大陸岩石圈的水平



速度後，平坦隱沒便能成功再現。Axen et al., 2018 使用同樣的數值模型將古代北美西部的克拉通放置於大陸板塊測，成功模擬出增厚海洋地殼加上快速移動大陸岩石圈能發生平坦隱沒，並且能將克拉通從大陸岩石圈底部刮除，證實了平坦隱沒能破壞大陸岩石圈。在該研究中並沒有考慮克拉通對平坦隱沒的影響。Manea et al., 2012 提出了另外的看法。他們利用三維模型模擬過去 30Ma 以來智利區域的隱沒帶動態行為，使用額外施加的邊界條件強迫智利海溝後撤，發現海溝後撤能夠施加給隱沒板塊的地幔流吸力 (suction) 不足以讓巨大厚重的海洋板塊變平坦，因此他們在模型上覆板塊加上克拉通，系統性測試從 150-300 公里厚的大陸岩石圈與海溝距離 600-1000 公里時隱沒帶下方地幔流產生的動力壓力 (dynamic pressure)。他們發現在只有在克拉通與海溝距離約 800 公里且克拉通厚度大於 200 公里時平坦隱沒才會生成。當他們把造成海溝後撤的邊界力移除時，不會觸發平坦隱沒的形成，因此他們得出的結論是需要同時有海溝後撤與克拉通的存在才會觸發平坦隱沒。這是首次將克拉通加進數值模型裡的平坦隱沒模型。隨後 Liu and Currie, 2016 效仿同樣的機制，將過去普遍認為存在於北美板塊西部下方的科羅拉多高原山根放入模型中，模擬古法拉龍板塊平坦隱沒演化。他們認為克拉通與山根的存在只是加快平坦隱沒的形成，但真正觸發平坦隱沒的機制是增厚海洋地殼延緩玄武岩相變成榴輝岩。Hu et al., 2016 使用三維模型 CitcomS 模擬整個南美洲海溝 45 Ma 以來隱沒帶演化。在加入克拉通的模型中，隱沒板塊傾角有降低的趨勢，不過根據模型結果，真正造成平坦隱沒的形成依然與隱沒海脊相關，只有在海脊進入三維模型後隱沒傾角才出現顯著降低。因此，目前的平坦隱沒數值模型大多以擬合智利、秘魯與法拉龍板塊為主，觸發平坦隱沒的機制大多與克拉通的存在與否、是否有洋脊隱沒以及上覆板塊的移動速度為主要測試，墨西哥區域尚未有平坦隱沒的數值模型被提出。在墨西哥，隱沒板塊上沒有任何增厚的紀錄，此外該地區北美板塊移動速率遠低於南美洲與過去法拉龍板塊隱沒時期的北美板

塊，因此墨西哥區域的平坦隱沒機制尚未有統一定論。本研究期待能利用數值模擬得到墨西哥平坦隱沒從過去 50 Ma 以來的演化，並提出新的演化機制模型，填補過去尚未成熟的平坦隱沒機制理論。



## 1.3 研究動機與目標

(尚未開始撰寫)


## 1.4 墨西哥觀測資料

Pardo et al. 1995 最早藉由重新定位當地地震跟遠震判斷在墨西哥中部的板塊交界處下方有平坦隱沒存在。Pe'rez-Campos et al. 2008 使用接收函數得到平坦隱沒的影像 (圖 1-3)。這是人類第一次看到隱沒板塊水平貼在大陸地殼下方呈水平走向隱沒，在平坦隱沒板塊段與大陸板塊交界處中，初步判斷只有不到三公里厚的地幔岩石圈，該範圍屬於誤差區間，目前還無法判斷隱沒板塊是貼著上覆大陸地殼或中間夾帶大陸地幔成分。

在 Cocos plate 上方由地震波研究證明 (Song et al. 2009) 被認為有一層 Vs 低速層，Song 2009, Song 2012, Kim 2012 都認為該低速層是由 oceanic slab 上的物質所組成，而早先時候 Pe'rez-Campos et al. 2008 接收函數同樣有看到低速層 (圖 1-3)，但沒有特別針對該層多做解釋。Song 2009 猜測是蛇紋岩與高孔隙水壓。因板塊交界有一層低速層的關係，被認為兩個板塊耦合低 (decoupled)。Manea et al. 2013 認為這層低速成是由蛇紋岩所造成，由於 Cocos plate 隱沒時的年紀輕，地溫梯度較高，水大約在 50-70 km 就會釋出，導致部分地幔被蛇紋岩化。

在一個隱沒帶中，通常會把隱沒板塊區分成幾段探討中間的耦合機制，區





分辦法都以溫度當作約束。在大約 150 度到 350 度是地震會發生的地方，稱作 seismogenic zone，150 度之前會有大量水份從沉積物釋放，所以介面多以滑動為主，在 150 度後因為水份已經消失，使板塊介面變成鎖住的狀態，因此許多地震會在這裡發生 Manea et al. 2013 認為 seismogenic zone 大約在 150-300 度之間。到了 350-450 度之間，因為溫度過高開始產生變質相變，出現蛇紋岩，因此板塊介面又轉為弱耦合，以滑動為主。從上述的溫度約束可以判斷，當年輕板塊隱沒時，板塊傾角較低，150-300 度的介面面積會相對很大，這時候鎖住區很遠很大，會產生較大的地震規模事件。不過在墨西哥區域並沒有在內陸發生大規模地震事件的紀錄，因此在平坦隱沒區域中，可能有其他機制主導隱沒板塊與上覆板塊之間的耦合現象。(尚未完成，待補)

## 1.5 小結

(尚未開始撰寫)



## Chapter 2 研究方法

### 2.1 運動方程式

We used the Fast Lagrangian Analysis of Continua (FLAC) technique. Continuum In geodynamics modelling, we consider major rock units as continuous geological media. The continuous description is described by field variables such as density, pressure, velocity, strain, etc. Since on long timescales geological unit behave like slowly creep fluids, geodynamics process in the viscous part (mantle) are often referred to as process of geodynamical fluid dynamics.

the mass conservation equation in Lagrangian form is as follow

$$\frac{\partial \sigma_{ij}}{\partial x_j} + \rho g_i = \rho \frac{\partial D_{vi}}{\partial t} \quad (2.1)$$

The proof of eq.(2.1) is as follow

There are totally two unknow: density and velocity. While in geodynamics modelling, the density variations are small enough to be ignored, which is the result of Boussinesq approximation. The Boussinesq approximation assume that the density is linear proportional to the temperature and the small density variation is then neglected, expect the gravity term.



$$\rho(T) = \rho_0[1 - \alpha(T - T_0)] \quad (2.2)$$

where  $\rho_0$  is the reference density at temperature  $T_0$  and  $\alpha$  is the volumetric thermal expansion coefficient. The boussinesq approximation also represent the incompressible condition, which mean the density of material points does no change with time.

$$\nabla \cdot (\vec{v}) = 0 \quad (2.3)$$

The incompressible continuity equation is broadly used in numerical geodynamic modelling, although on many cases it is rather big simplification.

Eq. (2.3) is the conservation of mass in our numerical modelling approach.

#### Momentum Equation

In geodynamics, the time-dependent phenomena involve deformation of continuous media, which is the effect of the balance of internal and external forces that act in these media. So as to relate forces and deformation, an equation of motion may be used –The momentum equation. The momentum equation is a differential equivalent of Newton' s second law to a continuous medium.

$$f = ma$$

$$\text{Eulerian Form: } \frac{\partial \sigma_{ij}}{\partial x_j} + \rho g_i = \rho \left( \frac{\partial v_i}{\partial t} + v_j \frac{\partial v_i}{\partial x_j} \right)$$

$$\text{Lagrangian Form: } \frac{\partial \sigma_{ij}}{\partial x_j} + \rho g_i = \rho \frac{\partial D_{vi}}{\partial t}$$

F is the net force acting on the object which can be computed locally.

We will proof the momentum equation of Lagrangian Form below:

For x-component

$$f_x = f_{xA} + f_{xB} + f_{xC} + f_{xD} + f_{xE} + f_{xF} + mg_x \quad (2.4)$$

$f_{xA} - f_{xF}$  are stress-related forces, from the outside of the volume on the respective boundaries A-F.  $f_g = m_g x$  is the gravity force.

$$f_{xA} = -\sigma_{xxA} \Delta y \Delta z$$



## 2.2 finite elements method

finite elements method

## 2.3 FLAC

what is FLAC

## 2.4 Initial Model

initial model

## 2.5 Rheological behavior

rheology

\*What is viscous and the viscous rheology of rock\*

In our model, we consider the visco-elasto-plastic rheology. \*Why?\*

\*\*

Why care about elasticity and plasticity? From Introduction of Numerical Modelling)

Rocks behave elastically on a relatively short time scale ( $<10^4$  year) and, therefore, modelling of relatively fast processes within the Earth's crust and mantle (e.g. magma intrusion) should take into account the elastic properties of rocks. On the other hand, rocks at cold temperatures can also be subjected to localised brittle (at low pressure) and plastic (at higher pressure) deformation, which leads to shear zones and fracture zones in natural rock complexes. Therefore, if we want to account for this broad range of geodynamic conditions in our models, we should generally consider the visco-elasto-plastic rheology of rocks and be able to model such a complex rheology with our thermomechanical numerical codes.

## 2.6 Phase change

phase change

## 2.7 Boundary condition

kinematic boundary condition

thermal boundary condition



## Chapter 3 中文測試

### 3.1 史記

項籍者，下相人也，字羽。初起時，年二十四。其季父項梁，梁父即楚將項燕，為秦將王翦所戮者也。項氏世世為楚將，封於項，故姓項氏。

項籍少時，學書不成，去學劍，又不成。項梁怒之。籍曰：「書足以記名姓而已。劍一人敵，不足學，學萬人敵。」於是項梁乃教籍兵法，籍大喜，略知其意，又不肯竟學。項梁嘗有櫟陽逮，乃請蕲獄掾曹咎書抵櫟陽獄掾司馬欣，以故事得已。項梁殺人，與籍避仇於吳中。吳中賢士大夫皆出項梁下。每吳中有大繇役及喪，項梁常為主辦，陰以兵法部勒賓客及子弟，以是知其能。秦始皇帝游會稽，渡浙江，梁與籍俱觀。籍曰：「彼可取而代也。」梁掩其口，曰：「毋妄言，族矣！」梁以此奇籍。籍長八尺餘，力能扛鼎，才氣過人，雖吳中子弟皆已憚籍矣。

秦二世元年七月，陳涉等起大澤中。其九月，會稽守通謂梁曰：「江西皆反，此亦天亡秦之時也。吾聞先即制人，後則為人所制。吾欲發兵，使公及桓楚將。」是時桓楚亡在澤中。梁曰：「桓楚亡，人莫知其處，獨籍知之耳。」梁乃出，誡籍持劍居外待。梁復入，與守坐，曰：「請召籍，使受命召桓楚。」守曰：「諾。」梁召籍入。須臾，梁眴籍曰：「可行矣！」於是籍遂拔劍斬守頭。項梁持守頭，佩其印綬。門下大驚，擾亂，籍所擊殺數十百人。一府中皆懼伏，莫敢起。梁乃召故

所知豪吏，諭以所為起大事，遂舉吳中兵。使人收下縣，得精兵八千人。梁部署吳中豪傑為校尉、候、司馬。有一人不得用，自言於梁。梁曰：「前時某喪使公主某事，不能辦，以此不任用公。」眾乃皆伏。於是梁為會稽守，籍為裨將，徇下縣。

## 3.2 山海經

南山經之首曰 山。其首曰招搖之山，臨于西海之上，多桂，多金玉。有草焉，其狀如韭而青花，其名曰祝餘，食之不飢。有木焉，其狀如穀而黑理，其花四照，其名曰迷穀，佩之不迷。有獸焉，其狀如禺而白耳，伏行人走，其名曰狴狴，食之善走。麗 之水出焉，而西流注于海，其中多育沛，佩之無瘕疾。

又東三百里，曰堂庭之山，多棧木，多白猿，多水玉，多黃金。

又東三百八十里，曰猿翼之山，其中多怪獸，水多怪魚，多白玉，多腹虫，多怪蛇，多怪木，不可以上。



## Chapter 4 英文測試

### 4.1 出師表

### 4.2 短歌行

This is just to test [?] the cite function.





# **Appendix A — Introduction**

## **A.1 Introduction**

## **A.2 Further Introduction**







## **Appendix B — Introduction**

### **B.1 Introduction**

### **B.2 Further Introduction**